升流微生物催化电解反应器强化偶氮染料脱色

彭 晶^{1,2}, 郭宇琦^{2,3}, 崔 丹^{2,3}, 王爱杰^{2,3}

- (1. 哈尔滨工业大学 建筑设计研究院, 150090 哈尔滨; 2. 哈尔滨工业大学 市政环境工程学院, 150090 哈尔滨;
 - 3. 哈尔滨工业大学 城市水资源与水环境国家重点实验室, 150090 哈尔滨)

摘 要: 针对传统偶氮染料处理方法效率低的缺点,利用新型升流式微生物催化电解反应器(UBER)强化水中偶氮染料茜素黄 R(AYR)还原脱色. 反应器采用上升流、连续供水的运行方式,在较短水力停留时间 4h 条件下,脱色率可达 82.1%,脱色速率达 1.74 $mol \cdot m^{-3} \cdot d^{-1}$,出水色度 80 倍. 茜素黄 R 的脱色主要发生在 UBER 的阴极区,是电化学反应和电极微生物生物反应的共同结果,生物阳极也有一定的脱色能力. AYR 最终生成两种稳定产物对苯二胺和 5- 氨基水杨酸,反应过程中无硝基中间产物的积累.

关键词:微生物催化电解;升流式微生物催化电解反应器;偶氮染料;茜素黄R;脱色

中图分类号: X703.3; X788 文献标志码: A 文章编号: 0367 - 6234(2013)04 - 0053 - 05

Azo dye decolorization in an up-flow biocatalyzed electrolysis reactor

PENG Jing¹, GUO Yuqi², CUI Dan², WANG Aijie²

- $(1.\ \ \text{The Architecture Design and Research Institute, Harbin Institute of Technology, 150090\ Harbin,\ China;}$
- 2. School of Municipal and Environmental Engineering, Harbin Institute of Technology, 150090 Harbin, China;
- 3. State Key Lab of Urban Water Resource and Environment, Harbin Institute of Technology, 150090 Harbin, China)

Abstract: Due to the low efficiency of traditional azo dye treatment process, in this study a novel up-flow biocatalyzed electrolysis reactor was used for azo dye alizarin yellow R (AYR) decolorization. The reactor operated in an up-flow, continuous flow mode, and the results showed that the decolorization efficiency was 82.1% and the decolorization rate was 1.74 mol·m⁻³·d⁻¹ at HRT of 4 h. The chrominance of the effluent was as low as 80. AYR was mainly discolored via electrochemical reaction in the cathode zone of UBER. The bio-anode also made some contribution to the decolorization. Two stable products p-phenylenediamine and 5 – aminosalicylic acid were produced finally without accumulation of nitro intermediates.

Key words: biocatalyzed electrolysis; up-flow biocatalyzed electrolysis reactor (UBER); azo dye; alizarin yellow R; decolorization

偶氮染料作为应用最广的一类染料用于纺织、皮革、塑料及食品等工业^[1],而偶氮染料及其分解产物多为有毒或三致物^[2],因此,染料废水必须经过严格处理才可排放到环境中.目前用于处理染料废水的方法有物理法,包括吸附^[3]、混凝-沉淀^[4]和膜过滤^[5]等.物理法脱色效果较好,但存在吸附剂易饱和且再生困难、需投加混凝

收稿日期: 2012 - 06 - 12.

基金项目: 国家自然科学基金资助项目(51078100).

作者简介: 彭 晶(1971一),女,博士研究生,高级工程师;

王爱杰(1971一),女,教授,博士生导师.

通信作者: 彭 晶, bepa2000@ sina. com.

药剂、膜易结垢堵塞、投资高等缺点. 化学法主要是化学氧化法(如臭氧氧化法^[6]、Fenton 试剂法^[7]等),该方法效率高,但存在氧化剂投量大、运行成本较高等缺点. 电化学方法^[8]对染料废水脱色速率高,由于阴阳极存在较高的过电势,其能耗也居高不下. 相比以上方法,生物法是一种低成本的水处理方法. 偶氮染料在好氧条件下表现出较强的抗性^[9],在厌氧条件下脱色效果较好,但速率低,这极大地限制了生物法的应用. 近年来,结合了生物法成本低、电化学方法效率高双重优点的生物电催化方法,即生物催化电解系统(biocatalyzed electrolysis systems, BESs)在环境水

处理领域逐渐展现其优势. 研究证实,在 BESs 阴极可以还原降解硝基苯^[10]、高氯酸盐^[11]、氯代有机物(如氯酚^[12]、三氯乙烯^[13])、Cr(VI)^[14]等. 此外,已有研究证实在 BESs 中可以实现偶氮染料降解^[15].

本研究采用新型的升流式、无隔膜、连续流微生物催化电解反应器(up-flow biocatalyzed electrolysis reactor, UBER),以偶氮染料茜素黄R(Alizarin Yellow R, AYR)作为模式染料,使水中的 AYR 还原脱色. 着重探讨 UBER 对偶氮染料的脱色效能,分析 AYR 在 UBER 中的脱色效率及转化机制. 前期研究已经证实 UBER 可以有效地对含硝基苯废水进行处理^[16],本研究也为 UBER 在废水处理应用方面提供技术参数.

1 实验

1.1 反应器构型及运行条件

针对难降解、有毒污染物的处理,UBER 对传统的 BESs 反应器进行了改进,采用阴极在下、阳极在上的电极排布方式,污水自下而上流如UBER,水中污染物在阴极还原脱毒,阴极对阳极起到了有效的保护作用.其构型如图 1 所示.反应器由有机玻璃制成,呈圆筒型,从上到下分为布水区、阴极区和阳极区.采用附着有电催化活性微生物的碳纤维刷作为阳极,阴极采用石墨颗粒,颗粒直径 1~5 mm,并将一根直径 3 mm 的石墨棒插在石墨颗粒中间作为电流收集器,UBER 有效容积为 180 mL. 在距反应器底部 2 cm 处布置一块布孔均匀的布水片,使废水均匀地流进电极区.反应器顶部和底部以及阴极区出水处分别设置取样孔,用以检测 AYR 的脱色情况.

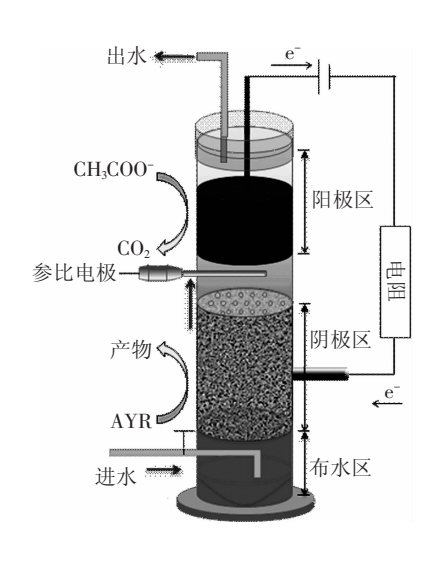


图 1 UBER 结构示意图

反应器运行时外加 0.5 V 电压(ITECH 直流电源 IT6921,美国),外接 10 Ω 电阻,采用饱和甘汞参比电极(217 型,上海伟业仪器厂),参比电极固定在阴极区与阳极区之间,用于测定阴极和阳极的电位.数据记录仪(吉士利 2700,美国)与反应器相连,连续记录反应器的电流及阴阳极电位.反应器用一个微量计量泵(兰格泵 BT -100,中国江苏)连续进水.本研究采用人工配水,污水成分包括:乙酸钠($1 \text{ g} \cdot \text{L}^{-1}$),茜素黄 R($100 \text{ mg} \cdot \text{L}^{-1}$),NH₄Cl($0.31 \text{ g} \cdot \text{L}^{-1}$),KCl($0.13 \text{ g} \cdot \text{L}^{-1}$),Na₂HPO₄($11.5 \text{ g} \cdot \text{L}^{-1}$),NaH₂PO₄($2.77 \text{ g} \cdot \text{L}^{-1}$),微量元素液($1 \text{ mL} \cdot \text{L}^{-1}$),元。反应器在室温 25 ℃下运行.

1.2 检测方法

AYR: 紫外分光光度检测方法, 检测波长 374 nm. 色度: 稀释倍数法. 茜素黄转化产物检测: 反应器出水经过 0. 45 μ m 过滤后,采用高效液相色谱(HPLC, Waters e2695,美国)法检测. 色谱柱为 waters C18,柱温 35 ℃;流动相 A 为体积分数 0. 1% 乙酸,流动相 B 为甲醇,流动相流量比 A: B = 9: 1,流速为 1 mL·min⁻¹;采用紫外检测器,双波长检测,波长 A 为 288 nm,波长 B 为 308 nm;运行时间 10 min.

1.3 计算方法

1) 脱色率 (R_D)

$$R_{\rm D} = \frac{\rho_{\rm in} - \rho_{\rm ef}}{\rho_{\rm in}} \times 100\%$$
.

式中: ρ_{in} 为进水茜素黄质量浓度($mg \cdot L^{-1}$); ρ_{ef} 为出水茜素黄质量浓度($mg \cdot L^{-1}$).

2) 脱色速率 (v_D)

$$v_{\rm D} \ = \ \frac{(\rho_{\rm in} \ - \rho_{\rm ef})/M_{\rm AYR} \ \times \ Q \ \times 1 \ 000}{V}. \label{eq:vD}$$

式中: M_{AYR} 为茜素黄 R 的摩尔质量(g·mol⁻¹); Q 为进水流量(m³·d⁻¹); V 为反应器容积(mL).

 (E_{pr}) 3)产物生成率 (E_{pr})

$$E_{\rm pr} \, = \frac{\rho_{\rm pr}/M_{\rm pr}}{(\rho_{\rm in} - \rho_{\rm ef})/M_{\rm AYR}} \times 100\% \, .$$

式中: ρ_{pr} 为出水中该产物质量浓度($mg \cdot L^{-1}$); M_{pr} 为产物的摩尔质量($g \cdot mol^{-1}$).

4) 阴极库伦效率 (E_c)

$$E_{\rm C} = \frac{10 \times (\rho_{\rm in} - \rho_{\rm ca}) \times F \times Q \times 1000}{M_{\rm AYR} \times I \times 24 \times 3600}.$$

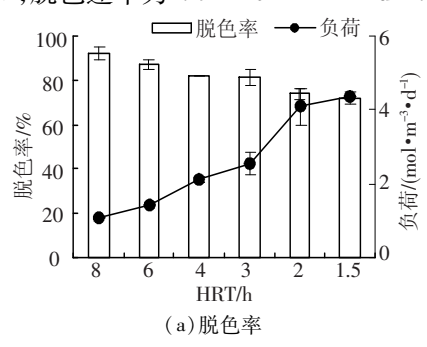
式中:10 为 1 mol AYR 转化为对苯二胺与 5 – 氨基水杨酸时得到电子的摩尔数; ρ_{ca} 为阴极区出水 AYR 质量浓度; F 为法拉第常数(96 485 $\mathbb{C} \cdot \text{mol}^{-1}$); I 为电路中电流(mA).

2 结果与讨论

2.1 UBER 的启动及对 AYR 的脱色率和脱色速率

采用双极室微生物燃料电池驯化生物阳极. 待阳极电位及输出电压分别稳定在-500 mV vs. SCE 及 400 mV 时,生物阳极驯化成功. 而后将其装入 UBER 中,在进水 AYR 质量浓度为100 mg·L⁻¹、HRT 为 8 h 条件下连续进水启动UBER. 经 10 d 左右,反应器阴阳极电位分别稳定在-892 mV vs SCE 和-415 mV vs SCE,电流达2.0 mA,表明 UBER 启动成功. 同时,由于反应器经过了一段时间连续运行,反应器阴阳极材料对AYR 的吸附作用达到饱和,消除了吸附作用对处理效果的影响.

UBER 启动成功后,控制进水 AYR 质量浓度为 100 mg·L⁻¹,通过逐渐降低水力停留时间(HRT)的方式来提高进水负荷,检测反应器的进出水中 AYR 的质量浓度和产物含量,得出 UBER 在不同 HRT 下对 AYR 的处理效能.如图 2(a)所示,当 HRT 由 8 h 缩短为 1.5 h 时,反应器负荷由 1.10 增至 4.35 mol·m⁻³·d⁻¹,对 AYR 的脱色率由 92.24%逐渐减小到 71.95%,相应的,UBER对 AYR的脱色速率由 1.01增加到3.21 mol·m⁻³·d⁻¹(图 2(b)).对不同 HRT条件下的反应器末端出水进行色度检测(表 1),当HRT小于 4 h 时出水色度值较高,不宜排放.这表明 UBER 可在最低 4 h 的 HRT条件下有效运行,此时出水色度为 80倍, AYR的脱色率可达82.11%,脱色速率为1.74 mol·m⁻³·d⁻¹.



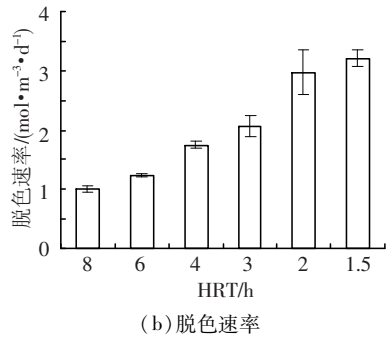


图 2 不同 HRT 下的脱色率与脱色速率

表 1 不同 HRT 条件下 UBER 的出水色度

HRT/h	8	6	4	3	2	1.5
色度/倍	64	64	80	128	160	160

对 UBER 的阴极区出水水样进行检测,当HRT 在8,6,4,3,2,1.5 h时,阴极区对 AYR 的脱色率占反应器最终脱色的比率分别为99.64%,98.38%,92.72%,85.12%,85.77%,85.0%,这表明 AYR 主要在阴极被去除.同时可以看出,阳极对 AYR 具有一定的去除能力,原因可能有两个:1)阳极存在可以利用进水中的有机物(如乙酸),通过厌氧生物作用还原偶氮染料的微生物而使染料脱色.2)AYR 的还原产物,如5-氨基水杨酸可以在厌氧条件下被微生物进一步利用,作为电子供体将染料还原脱色.对于阳极的作用还需要在以后的研究中进一步证实.

2.2 AYR 还原产物分析

将 UBER 的进水和出水水样进行紫外 - 可见全波段扫描,扫描图谱如图 3 所示. 可以看出,进水中 AYR 有两个特征吸收峰,其中对 374 nm 波长有较强的吸收. 在 UBER 出水的图谱中上述两个特征峰消失,而在 326 nm 处产生了一个比较平缓的新的吸收峰. 这表明水中的 AYR 经过 UBER 被去除,并有新的产物生成.

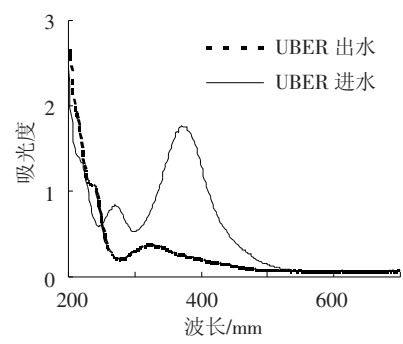


图 3 UBER 进出水紫外 - 可见全波段扫描图谱

根据进水成分以及 AYR 的结构推测在 UBER 阳极和阴极发生如下反应

阳极:

 $CH_3COOH + 2H_2O \rightarrow 2CO_2 + 8H^+ + 8e^-$. (1) 阴极:

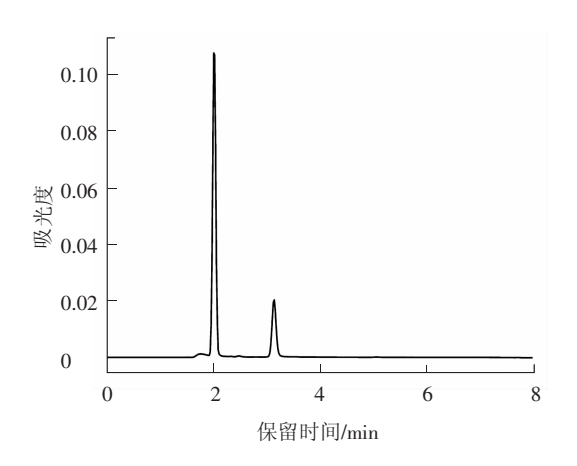
$$O_{2}N \longrightarrow N \longrightarrow OH +4e^{-}+4H^{+} \longrightarrow COOH$$

$$H_{2}N \longrightarrow NO_{2}+H_{2}N \longrightarrow OH, (2)$$

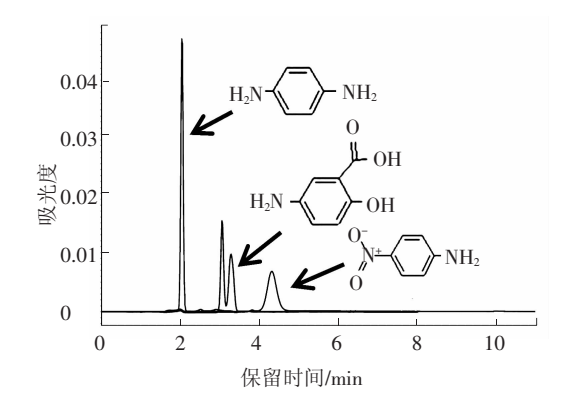
$$H_{2}N \longrightarrow NO_{2}+6e^{-}+6H^{+} \longrightarrow H_{2}N \longrightarrow NH_{2}+2H_{2}O. (3)$$

即阳极电化学活性微生物利用乙酸作为电子供体,在阳极发生氧化反应,将电子传递给电极,并通过外电路将电子传给阴极. AYR 在阴极得到电子首先发生偶氮键断裂的还原反应,使之脱色,生成5-氨基水杨酸和对硝基苯胺,对硝基苯胺不稳定,可在阴极进一步被还原为稳定的对苯二胺.

为了进一步确定产物的种类,对 UBER 的出水、5-氨基水杨酸、对硝基苯胺和对苯二胺的标准样品进行了高效液相色谱(HPLC)检测.由图 4(a)可知,UBER 的出水中含有两种产物,其保留时间分别为 2.0 及 3.1 min.而这两个保留时间正与图 4(b)中对苯二胺和 5-氨基水杨酸保留时间吻合.因此,可以确定 AYR 经过 UBER 后生成 5-氨基水杨酸和对硝基苯胺,对硝基苯胺进一步还原为对苯二胺.由于出水中并没有检测到对硝基苯胺的存在,说明对硝基苯胺在 UBER 中可以被完全转化,并无积累.



(a) UBER 出水



(b)产物单标

图 4 UBER 出水及产物单标 HPLC 图谱

在各 HRT 条件下两种产物的生成率如图 5 所示. 可以看出,对苯二胺和 5 - 氨基水杨酸的生成率较高,均为 86% 以上.

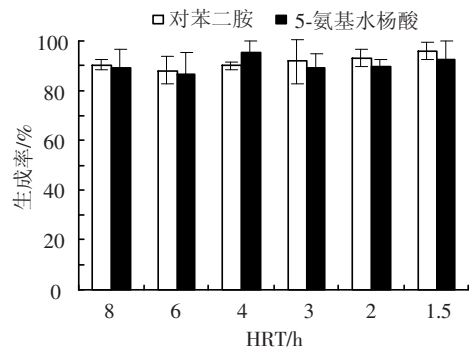


图 5 对苯二胺和 5-氨基水杨酸的生成率

2.3 阴极区的脱色机理

在 UBER 中, 阴极对 AYR 的去除起到了主要 作用,为说明阴极电化学还原反应对 AYR 夫除的 贡献,考察了阴极库伦效率. 当 HRT 为 8 和 6 h 时,库伦效率分别为88.96%和99.85%,继续降 低 HRT,发现库伦效率超过了 100%,这些结果表 明,在 UBER 的阴极除电化学还原作用以外还存 在其他使 AYR 脱色的过程. 由于 UBER 经过了长 时间(大于3个月)的连续流运行,电极材料已达 饱和吸附,由此可以排除吸附作用对 AYR 去除的 影响. 研究中阴极虽没有接种微生物,但由于阴极 和阳极之间没有膜的阻隔,在反应器长时间的运 行过程中,不能排除阳极上微生物向阴极迁移的 可能. 因此, 阴极区有生物反应参与 AYR 的去除 过程, 进而使库伦效率大于100%. 为了证实这一 推论,对阴极石做了扫描电镜(SEM)测试,从阴极 的 SEM 图像(图 6) 可以看出, 阴极碳颗粒上的确 有微生物存在,但生物量较少. 因此,AYR 在阴极 脱色是电化学作用与厌氧生物作用的共同结果.



图 6 阴极碳颗粒的 SEM 图像

为证实在阴极电化学与生物作用的大小,考察了开路(UBER 在没有外加电压,但仍旧连续供水的运行条件)与闭路条件下UBER 阴极对 AYR的脱色率(图7),发现在开路条件下阴极区的脱色率明显低于闭路时的阴极脱色率,这说明电流的存在明显地强化了UBER 对 AYR 的脱色作用,同时也说明在阴极电化学还原脱色作用占主要.

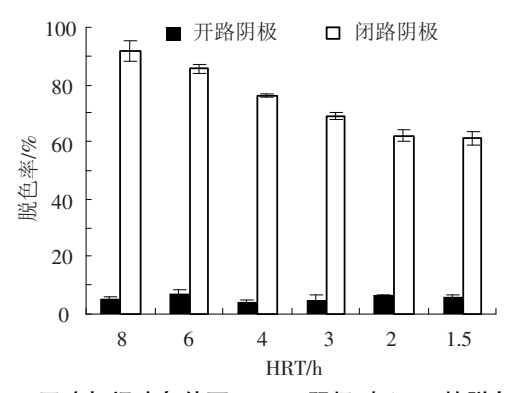


图 7 开路与闭路条件下 UBER 阴极对 AYR 的脱色率

3 结 论

- 1) UBER 能够高效地对水中偶氮染料 AYR 脱色. 在较低水力停留时间(4 h)时, UBER 的出水色度为 80 倍, 脱色率为 82. 11%, 脱色速率为 $1.74 \text{ mol} \cdot \text{m}^{-3} \cdot \text{d}^{-1}$.
- 2)水中茜素黄 R 在 UBER 中发生还原反应, 使偶氮键断裂而脱色,并生成两种稳定的脱色产物对苯二胺和 5-氨基水杨酸,生成率均为 86% 以上. 处理过程中没有中间产物对硝基苯胺的积累, 硝基可以被彻底还原.
- 3) AYR 的脱色主要发生在 UBER 的阴极,阴极脱色比率占反应器脱色的 85% 以上. 生物阳极对茜素黄 R 的脱色也能起到一定的作用.
- 4) UBER 对 AYR 脱色的阴极库伦效率高. 低负荷时,阴极主要是电化学还原脱色作用;负荷高时,在阴极表现为电化学和厌氧生物共同的脱色作用.

参考文献

- [1] O'NEILL C, HAWKES F R, HAWKES D L, et al. Colour in textile effluents sources, measurement, discharge consents and simulation: a review [J]. J Chem Technol Biotechnol, 1999, 74 (11): 1009 – 1018.
- [2] SELVAM K, SWAMINATHAN K, CHAE K. Microbial decolourization of azo dyes and dye industry effluent by Fomes lividus [J]. World J Microbiol Biotechnol, 2003, 19(6): 591-593.
- [3] LI Q, YUE Q, SU Y, et al. Equilibrium, thermodynamics and process design to minimize adsorbent amount for the adsorption of acid dyes onto cationic polymer-loaded bentonite [J]. Chemical Engineering Journal, 2010, 158(3):489-497.
- [4] AGATA S, ERIC G, MARI'A A, et al. Removal of an anionic dye (Acid Blue 92) by coagulation-flocculation using chitosan [J]. Journal of Environmental Management, 2009, 90(10): 2979 – 2986.

- [5] KUY, LEEP, WANG W. Removal of acidic dyestuffs in aqueous solution by Nanofiltration [J]. Journal Membrane Science, 2005, 250(1/2):159-165.
- [6] GOMESA A, NUNESA J, SIMÕES R. Determination of fast ozone oxidation rate for textile dyes by using a continuous quench-flow system [J]. Journal of Hazardous Materials, 2010,178(1/2/3): 57-65.
- [7] RUIZ E, ARIAS C, BRILLAS E, et al. Mineralization of acid yellow 36 azo dye by electro-Fenton and solar photoelectro-Fenton processes with a boron-doped diamond anode[J]. Chemosphere, 2011,82(4): 495-501.
- [8] GHALWA N, ZAGGOUT F. Electrodegradation of methylene blue dye in water and wastewater using lead oxide/titanium modified electrode [J]. J Environ Sci Health, 2006,41(10): 2271-2282.
- [9] SHAUL G, HOLDSWORTH T, DEMPSEY C, et al. Fate of water-soluble azo dyes in the activated sludge process[J]. Chemosphere, 1991, 22(1/2): 107 119.
- [10] MU Y, ROZENDAL R, RABAEY K, et al. Nitrobenzene removal in bioelectrochemical systems [J]. Environ Sci Technol, 2009, 43(22): 8690 8695.
- [11] THRASH J, TRUMP J, WEBER K, et al. Electrochemical stimulation of microbial perchlorate reduction [J]. Environ Sci Technol, 2007, 41:1740 1746.
- [12] STRYCHARZ S, GANNON S, BOLES A, et al. Reductive dechlorination of 2-chlorophenol by Anaeromyxobacter dehalogenans with an electrode serving as the electron donor[J]. Environ Microbiol Rep, 2010, 2(2):289 –294.
- [13] AULENTA F, REALE P, CANOSA A, et al. Characterization of an electro-active biocathode capable of dechlorinating trichloroethene and cis-dichloroethene to ethane [J]. Biosens Bioelectron, 2010, 25(7):1796 1802.
- [14] HUANG L, CHEN J, QUAN X, et al. Enhancement of hexavalent chromium reduction and electricity production from a biocathode microbial fuel cell [J]. Bioprocess Biosyst Eng., 2010, 33(8):937-945.
- [15] MU Y, RABAEY K, ROZENDAL R, et al. Decolorization of azo dyes in bioelectrochemical systems [J]. Environ Sci Technol, 2009, 43(13):5137-5143.
- [16] WANG A, CUI D, CENG H, et al. A membrane-free, continuously feeding, single chamber up-flow biocatalyzed electrolysis reactor for nitrobenzene reduction [J]. Journal of Hazardous Materials, 2012, 199/200:401-409.

(编辑 刘 彤)